

Figura 11: Análise do volume

Portanto, através desta análise, é notório que há uma diferença de precisão das medidas antropométricas e do volume entre os modelos 3D obtidos pelos diferentes scanners.

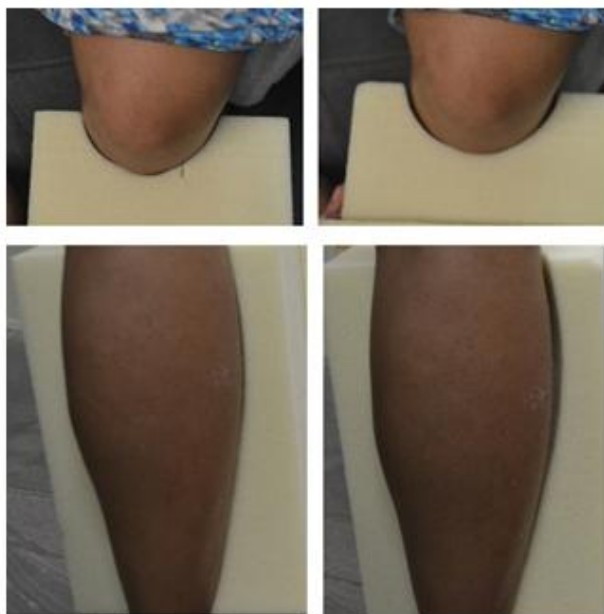


Figura 12: análise visual através do encaixe dos moldes

Técnica de Análise por mapeamento de Pressão

Os resultados da análise por mapeamento de pressão são apresentados nas figuras 13 e 14. A figura 13 (A) e (B) apresentam o mapeamento de pressão com o esforço mínimo para atingir o pico de um sensor, para o molde produzido pelo Artec Eva e pelo Kinect, respectivamente. Em ambas figuras é possível observar o maior ponto de pressão localizado na junta, mais ao lado da cabeça da tíbia.

Na figura 13 (A) observa-se uma maior área de contato, com pressões mais distribuídas. Na figura 13 (B), aparecem alguns picos menores de pressão em outras partes mais baixas da tíbia.

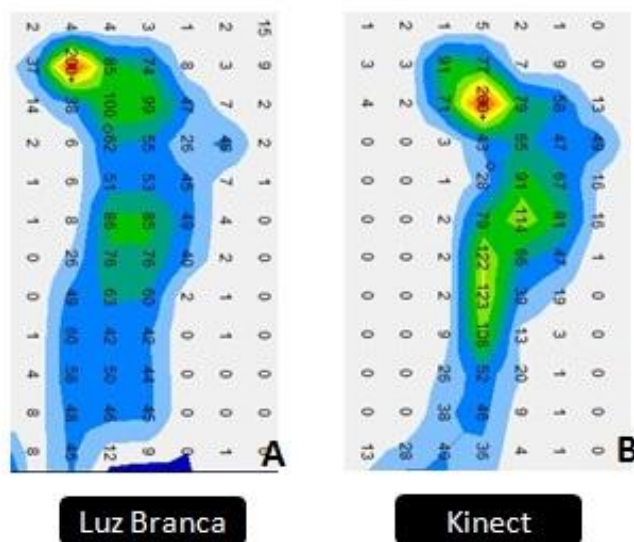


Figura 13: análise de mapeamento de pressão com mínimo de esforço.

As figuras 14 (A) e (B) apresentam o mapeamento de pressão com o esforço suficiente para atingir o maior número de picos nos sensores, para o molde produzido pelo Artec e pelo Kinect, respectivamente.

Na figura 14 (A), observam-se picos em uma linha mais contínua ao longo da tíbia. Já na figura 14 (B), a continuidade é menor, indicando, novamente, uma distribuição menos homogênea da pressão.